



八九天线

人民邮电出版社

內容提要

本书是根据S.UDA和Y.MUSHIAKE 1954年所著“YAGI—UDA ANTENNA”英文版翻譯的。书中对八木天綫进行了理論分析，并且介绍了实用的设计方法，书中还列出了許多计算图表。本书对于从事雷达、电视和超短波天綫的研究人員，设计人員來說，有一定的参考价值。

八木天綫

著者：（日本） S.Uda, Y.Mushiake

譯者：張善謀 王裕昆

出版者：人民邮电出版社

北京东四6条13号

（北京市书刊出版业营业登记证字第〇四八号）

印刷者：邮电部北京邮票厂

发行者：新华书店

开本 787×1092 1/32

1961年4月北京第一版

印数 6 6/32 頁數 99

1961年4月北京第一次印刷

印別字數 142,000 字

印数 1—3,000 册

統一书号：15045·总1205—无316

定价：(11) 0.97 元

譯者序

八木天綫（波道式天綫）是一种适用于超短波范围的定向天綫，它在通信、雷达、电视和导航等方面用得很多。

书中对八木天綫进行了理論分析，研究了天綫元粗細、天綫元間的距离对天綫特性的影响，从实用的观点上提出簡易可行的設計这种天綫的具体步驟和方法，列出了由实际測量所获得的数据、曲綫和計算图表(限于三元八木天綫)，对于研究和設計超短波无线电的人員來說，有一定的参考价值。

本书只对三元八木天綫的設計举有实例，而对比較更复杂些的多元八木天綫却講得不詳細，只简单地提一下，这是資本主义国家书籍的特点。但是，作者从实用的观点上研究簡化設計的方法，是值得注意的。

目 录

第一 章 引論	(1)
第二 章 基本理論	(2)
2.1 在具有不連續介質的无限区域內的互易定理	(2)
2.2 天線系統在饋电点处的通用方程式	(6)
第三 章 線狀天線的分析	(9)
3.1 任意截面形状的柱形天線理論	(9)
3.2 柱形天線等效半徑的理論表示式	(12)
3.3 各种柱形天線的等效半徑	(15)
3.3.1 角形天線的等效半徑 (截面为L形)	(15)
3.3.2 两平行導体的等效半徑	(18)
3.3.3 三平行導体的等效半徑	(19)
3.4 偶极天線的接收电压和輸入阻抗的数值	(20)
附录3.1 函數α_1、α_2、β_1和γ_1的表示式	(26)
第四 章 两平行天線輸入阻抗的理論計算	(28)
4.1 引言	(28)
4.2 計算的理論	(28)
4.3 阻抗的近似式	(37)
4.4 数据計算的結果	(41)
4.5 应用例題	(43)
附录4.1 f_l、g_l等函數的表示式	(46)
附录4.2 函數$\alpha(l)$、$\beta(l)$和δ_l的表示式	(47)
附录4.3 函數γ_l的表示式	(48)
第五 章 粗細不一致的天線理論	(49)
5.1 引言	(49)
5.2 理論上的研究	(49)
5.3 电流分佈和輸入阻抗的近似式	(58)

5.4	數字計算例子 ······	(62)
第六章 八木天綫的通用理論 ······		(64)
6.1	天綫元的有效長度 ······	(64)
6.2	八木天綫元的自阻抗和互阻抗 ······	(68)
6.3	八木天綫輸入阻抗的通用公式 ······	(70)
6.4	八木天綫輻射特性的通用公式 ······	(71)
附錄6.1 兩半波偶極天綫間的互阻抗 ······		(74)
第七章 八木天綫設計中的一般問題 ······		(76)
7.1	天綫系統設計中的一些問題 ······	(76)
7.2	激励元(饋電元)的設計 ······	(77)
7.3	反射器及引向器的設計 ······	(80)
第八章 兩元天綫的設計 ······		(82)
8.1	兩元天綫的輸入阻抗和輻射特性的理論計算 ······	(82)
8.2	兩元天綫特性的測量 ······	(92)
8.3	兩元天綫的設計 ······	(96)
附錄8.1 兩元天綫的輸入阻抗 ······		(99)
附錄8.2 兩元天綫的功率增益 ······		(105)
第九章 三元八木天綫的設計 ······		(110)
9.1	三元八木天綫特性的理論計算 ······	(110)
9.2	三元八木天綫的實驗研究 ······	(116)
9.3	三元八木天綫的設計 ······	(121)
附錄9.1 三元八木天綫的輸入阻抗 ······		(123)
附錄9.2 三元八木天綫的阻抗圖 ······		(127)
附錄9.3 三元八木天綫的設計計算圖 ······		(129)
第十章 折合天綫及其变态用作八木天綫的激励元 ······		(131)
10.1	引言 ······	(131)
10.2	T型匹配天綫的普遍理論 ······	(131)
10.3	T型匹配天綫輸入阻抗的計算 ······	(137)
10.4	T型匹配天綫輸入阻抗的測量 ······	(149)

10.5 同軸綫T型匹配天綫	(146)
10.6 双H型天綫的分析	(148)
10.7 双H型天綫的設計理論	(149)
10.8 双H型天綫的頻率特性	(152)
10.9 折合天綫和它在八木天綫中的应用	(155)
附录10.1 T型匹配天綫輸入阻抗的理論值	(156)
第十一章 天綫与饋綫連接的“工作增益” (159)	
11.1 引言	(159)
11.2 天綫与饋綫連接时的工作增益的定义	(160)
11.3 发射天綫工作增益和接收天綫工作增益的互易性	(161)
11.4 天綫的工作增益和一般增益之間的关系	(162)
第十二章 八木天綫的实例 (166)	
12.1 三元八木天綫	(166)
12.2 四元和五元八木天綫	(172)
12.3 重迭式八木天綫	(173)
12.4 垂直八木天綫	(175)
第十三章 由測量輻射图形决定綫形陣列天綫增益的方法 (177)	
13.1 引言	(177)
13.2 一般天綫增益和輻射图形之間的关系	(178)
13.3 关于几种天綫效率的理論性探討	(179)
13.4 線形陣列天綫的增益和輻射图形之間的关系	(184)
13.5 由輻射图形計算綫形陣列天綫增益的各种公式	(187)
13.6 公式 F_m 的一些注意点	(189)
13.7 由輻射图形求天綫增益的作图法	(190)
附录13.1 銅綫的电阻	(191)
附录13.2 $\Phi(\infty)$的計算	(192)
附录13.3 $\Phi(x)$的積分	(193)

第一章 引 論

八木天線是現今廣泛采用的一種結構簡單而增益又高的超短波天線，它是日本神戶大學的八木和宇田在1926年發明的。在發明後的十五年內，日本本國很少有人注意。然而，當這種天線於第二次世界大戰期間作為一個重要部件使用到雷達上以後，它的重要性才為人們所承認。其後，在日本有許多學者對這種天線進行了理論研究和實驗，然而他們的工作不是限於理論上的探討，不能直接用到實際設計上去，就是只對某些特殊問題作了實驗報告；對於天線元粗細、天線元與天線元間距離以及其他天線元參數的影響等都還沒有進行有系統的研究。可以這樣說，通用的設計步驟並未確立。

1944年作者開始八木天線的研究工作，目的是要確立這種天線的設計步驟，首先是測定半波振子的各種特性。在這個工作中就已發現，一般的天線理論並不能做為設計八木天線的基礎，需要進行更嚴格的探討。

通常天線的理論，大多是对電流分佈先作出某種假定，這種方法所導致的結論是：即使天線是由理想導体制成的，而在天線的表面上仍有電場的切線分量存在。但是這種理論却又與實驗結果相當吻合，謝昆諾夫曾經指出這是“輻射之謎”。哈侖的分析方法可以完全避免這個缺點，然而還只限於單根振子的問題，而不能直接用於多元天線系統。

作者對滿足邊界條件的天線常數下了定義，將哈侖的方法引伸一步，用來分析多元天線，結果得出更普遍的理論，並且計算出了各種情況的天線常數的數據。

雖然這個理論比較嚴整，但太複雜了，以致不能用於多元

天綫的實際問題上去。為了克服這種困難，引用了天綫元有效長度的觀念。這樣，整理設計數據的工作就大大地方便了。在本書中作者收集了許多實驗和計算數據，並將其結果列于書中的計算圖表里，還給出了許多有用的設計公式。

應用這種方法，作者所設計的許多電視接收天綫，已經在日本實際使用了。

第二章 基本理論

2.1 在具有不連續介質的無限區域內的互易定理

為了確定互易定理是否適用於象八木天綫這樣複雜的天綫，作者研究了在不連續介質無限區域內的互易定理，並導出了證明這個定理的新而精確而簡便的方法，現在將它敘述於下。

為了簡單起見，我們只討論線性的、並且是各向同性的介質^①，其電參數為 ϵ 、 μ 和 σ 。令 E_1 、 H_1 為在連續介質中加入電流源 J_{01} 所產生的電磁場， E_2 、 H_2 為 J_{02} 所產生的場，則它們分別滿足麥克斯威爾的場方程式如下：

$$\left. \begin{array}{l} \nabla \times E_1 + j\omega\mu H_1 = 0, \\ \nabla \times H_1 - (j\omega\epsilon + \sigma)E_1 = J_{01}. \end{array} \right\} \quad (1)$$

$$\left. \begin{array}{l} \nabla \times E_2 + j\omega\mu H_2 = 0, \\ \nabla \times H_2 - (j\omega\epsilon + \sigma)E_2 = J_{02}. \end{array} \right\} \quad (2)$$

一方面，由向量函數的數學公式得：

- ① 在不是各向同性但介質常數漸變的介質中，也可以得到同樣的結果。
- ② 我們只考慮那些是時間 t 和角速度 ω 的諧諧函數的分量。

$$\left. \begin{aligned} \nabla \cdot (\mathbf{E}_1 \times \mathbf{H}_2) &= \mathbf{H}_2 \cdot \nabla \times \mathbf{E}_1 - \mathbf{E}_1 \cdot \nabla \times \mathbf{H}_2, \\ \nabla \cdot (\mathbf{E}_2 \times \mathbf{H}_1) &= \mathbf{H}_1 \cdot \nabla \times \mathbf{E}_2 - \mathbf{E}_2 \cdot \nabla \times \mathbf{H}_1. \end{aligned} \right\} \quad (3)$$

为了消去 $\nabla \times \mathbf{E}_1$ 等，将(1)、(2)两式代入式(3)，并分别取式(3)两式中两边之差得：

$$\nabla \cdot (\mathbf{E}_1 \times \mathbf{H}_2) - \nabla \cdot (\mathbf{E}_2 \times \mathbf{H}_1) = -\mathbf{E}_1 \cdot \mathbf{J}_{02} + \mathbf{E}_2 \cdot \mathbf{J}_{01}. \quad (4)$$

若取此方程式在連續介质区域 V_1 内的体积分，并用高斯定理将公式左边变为面积分，我們得到下式：

$$\int_{S_1} (\mathbf{E}_1 \times \mathbf{H}_2 - \mathbf{E}_2 \times \mathbf{H}_1) \cdot \mathbf{n} ds = - \int_{V_1} (\mathbf{E}_1 \cdot \mathbf{J}_{02} - \mathbf{E}_2 \cdot \mathbf{J}_{01}) dv. \quad (5)$$

显然，这个方程式只适用于連續介质的区域 V_1 之内，而不能用于具有不連續介质的区域。但是，通过下面的方法，我們可以証明同样形式的方程式也能适用于具有不連續介质的区域。

图 2.1 不連續介质区域 V 包含 V_1 、 V_2 … V_n 等几个部分区域，如图2.1所示，则方程式(5)适用于部分区域 V_r 和其界面 S_r ，即

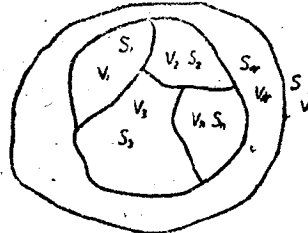
$$\begin{aligned} &\int_{S_r} (\mathbf{E}_{1r} \times \mathbf{H}_{2r} - \mathbf{E}_{2r} \times \mathbf{H}_{1r}) \cdot \mathbf{n}_r ds \\ &= - \int_{V_r} (\mathbf{E}_{1r} \cdot \mathbf{J}_{02r} - \mathbf{E}_{2r} \cdot \mathbf{J}_{01r}) dv. \end{aligned} \quad (6)$$

另一方面，按向量公式，我們知道有下列关系存在，

$$(\mathbf{E} \times \mathbf{H}) \cdot \mathbf{n} = \{\mathbf{n} \times (\mathbf{E} \times \mathbf{n})\} \cdot (\mathbf{H} \times \mathbf{n}). \quad (7)$$

另外，由場的向量的性质，对不連續面的边界条件可以写成下式：

$$\left. \begin{aligned} \mathbf{E}_{ir} \times \mathbf{n}_r + \mathbf{E}_{ir} \times \mathbf{n}_i &= 0, \\ \mathbf{H}_{ir} \times \mathbf{n}_r + \mathbf{H}_{ir} \times \mathbf{n}_i &= \mathbf{K}_{ir}, \end{aligned} \right\} \quad i=1,2 \quad (8)$$



式中 K_{irs} 为表面电流密度，它只存在于理想导体的界面。因此， $\mathbf{E} \times \mathbf{n}$ 在界面的两侧必须为零，于是，由方程式(7)得：

$$(\mathbf{E} \times \mathbf{H}) \cdot \mathbf{n} = 0. \quad (9)$$

然而， K_{irs} 只在理想导体的边界上存在，因此由方程式(7)和(8)，在界面上可以得到下列关系：

$$\left. \begin{aligned} (\mathbf{E}_{1r} \times \mathbf{H}_{2r}) \cdot \mathbf{n}_r &= -(\mathbf{E}_{1s} \times \mathbf{H}_{2s}) \cdot \mathbf{n}_s, \\ (\mathbf{E}_{2r} \times \mathbf{H}_{1r}) \cdot \mathbf{n}_r &= -(\mathbf{E}_{2s} \times \mathbf{H}_{1s}) \cdot \mathbf{n}_s. \end{aligned} \right\} \quad (10)$$

因此，在区域 V_r 和 V_s 的界面上得到：

$$\int_{S_r} (\mathbf{E}_{1r} \times \mathbf{H}_{2r} - \mathbf{E}_{2r} \times \mathbf{H}_{1r}) \cdot \mathbf{n}_r ds + \int_{S_s} (\mathbf{E}_{1s} \times \mathbf{H}_{2s} - \mathbf{E}_{2s} \times \mathbf{H}_{1s}) \cdot \mathbf{n}_s ds = 0. \quad (11)$$

利用这个关系以及类似关系，我們能够很容易地导出下式：

$$\sum_{r=1}^n \int_{S_r} (\mathbf{E}_{1r} \times \mathbf{H}_{2r} - \mathbf{E}_{2r} \times \mathbf{H}_{1r}) \cdot \mathbf{n}_r ds = \int_S (\mathbf{E}_1 \times \mathbf{H}_2 - \mathbf{E}_2 \times \mathbf{H}_1) \cdot \mathbf{n} ds. \quad (12)$$

此外，各部分区域体积分的总和，显然是和整个区域的体积分的值相等。因此，若取 n 个象方程式(6)那样方程式的和，并利用方程式(12)，我們最后可以得到

$$\int (\mathbf{E}_1 \times \mathbf{H}_2 - \mathbf{E}_2 \times \mathbf{H}_1) \cdot \mathbf{n} ds = - \int (\mathbf{E}_1 \cdot \mathbf{J}_{02} - \mathbf{E}_2 \cdot \mathbf{J}_{01}) dv \quad (13)$$

这个方程式和方程式(5)具有同样的形式，但是它們之間是有差别的，即方程式(5)是在連續介质区域的关系，而方程式(13)却显示出包含着不連續介质的区域的关系；換句話說，方程式(13)对于例如包含有引向器及反射器的区域也能适用。

其次，讓我們研究当把区域 V 扩展到无限区域的情况，也就是当图 2.1 中的 S 面扩展到无限远处去的情况。根据 M. Ito 导出的結果，在离开分布在一个有限区域內的辐射源有足够远的

距离的一点上的感应电磁場，可以用下式給出：

$$\left. \begin{aligned} \mathbf{E}_i &= \frac{e^{-jkR}}{R} \mathbf{D}_i + O\left(\frac{1}{R^2}\right), \\ \mathbf{H}_i &= \frac{e^{-jkR}}{R} \sqrt{\frac{\epsilon}{\mu}} \mathbf{R}_0 \times \mathbf{D}_i + O\left(\frac{1}{R^2}\right). \end{aligned} \right\} (i=1,2) \quad (14)$$

式中 R 为坐标原点到觀察点的距离， \mathbf{R}_0 为表示 R 方向的单位向量；向量函数 \mathbf{D}_1 和 \mathbf{D}_2 垂直于 \mathbf{R}_0 ，它們和 R 无关，而决定于源的分佈情况。把式(14)代入式(13)，式(13)左边的面积分便轉化成下式：

$$\begin{aligned} \int_S &= \sqrt{\frac{\epsilon}{\mu}} \int_S \frac{e^{-j2kR}}{R^2} \{ \mathbf{D}_1 \times (\mathbf{n} \times \mathbf{D}_2) - \mathbf{D}_2 \times (\mathbf{n} \times \mathbf{D}_1) \} \cdot \mathbf{n} dS \\ &\quad + \int_S O\left(\frac{1}{R^3}\right) dS \\ &= \sqrt{\frac{\epsilon}{\mu}} e^{-j2kR} \int (\mathbf{D}_1 \cdot \mathbf{D}_2 - \mathbf{D}_2 \cdot \mathbf{D}_1) \frac{dS}{R^2} + O\left(\frac{1}{R}\right) = O\left(\frac{1}{R}\right). \end{aligned} \quad (15)$$

因此，当 $R \rightarrow \infty$ 时，面积分变为零，結果，在无限区域的情形下，(13)式簡化为：

$$\int (\mathbf{E}_1 \cdot \mathbf{J}_{02} - \mathbf{E}_2 \cdot \mathbf{J}_{01}) dv = 0. \quad (16)$$

这个方程式表示出具有不連續介质的无限区域内两个电磁場之間的互易关系。

方程式(16)和卡森或巴兰亭所导出的方程式是一样的，但是上面所討論的方法在以下的两点上比其他作者所描述的方法更确切更簡洁，即介质的不連續面用式(12)計入，而对无限区域則引用式(14)来解决。对这两点在 H. Nukiyama 的報告中只作了簡單的假定，而缺乏理論上的分析。

利用我們的方法，如果引用式(12)的关系，同样可以把坡印亭定理扩展，应用到不連續介质区域中去。

2.2 天綫系統在饋電點處的通用方程式

現在我們研究如圖 2.2 所示具有獨立饋電點的天綫系統，並導出表示其饋電點處電氣特性的通用方程式。

圖中，當天綫 #1 的饋電點處加有電壓 v_{11} ，而其餘各饋電點均為開路，同時天綫 #1 饋電點處的電流為 i_1 ，而在天綫 #2、#3……#n 開路饋電點處所感應電壓分別為 $v_{21}、v_{31} \dots v_{n1}$ 時，我們令這時所得的滿足麥克斯威爾方程式和邊界條件的電磁場的解為解 [1]。同樣地，當天綫 #s 的饋電點處加有電壓 v_{ss} 而其餘天綫均為開路，同時天綫 #s 的輸入電流為 i_s ，而在天綫 #r 的開路饋電點的感應電壓為 v_{sr} 時，我們令所得的解為解 [s]。這樣，用同一方法便能確定 n 個解。

由於麥克斯威爾方程式是線性的，這些解的任何線性組合同樣也能滿足麥克斯威爾方程式和除了外加電壓以外的邊界條件。因此，所得線性組合式也是一個解。

為了求得電壓 V_r ($r = 1, 2 \dots n$) 加于天綫 #r 饋電點時的解，我們定義常數 a_r 為：

$$V_r = \sum_{s=1}^n v_{rs} a_s \quad (17)$$

如果取 n 個解 [s] 各自乘以 a_s 的和，其結果也是一個解，並且根據式 (17)，它能滿足在天綫 #r 的饋電點分別加有等於 V_r 的電壓的條件。換句話說，對上述情況，顯然解的和本身也是一個解。此時，輸入電流 I_r 按定義一定可以由下式決定：

(1) 由於饋電點是彼此无关的，可以認為 $|V_r| \neq 0$ 。

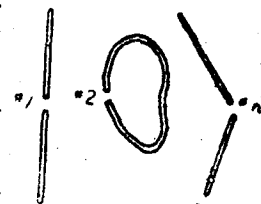


圖 2.2 一般天綫系統

$$I_r = a_r i_r. \quad (18)$$

从式(17)和式(18)中消去常数 a_r , 得

$$V_r = \sum_{s=1}^n \frac{v_{rs}}{i_s} I_s. \quad (19)$$

此外，在电压 v_{rs} 和电流 i_s 之间存在有比例关系，因此，可以写成下面的形式：

$$Z_{rs} = \frac{v_{rs}}{i_s}. \quad (20)$$

把这个关系代入(19)式，得：

$$V_r = \sum_{s=1}^n Z_{rs} I_s. \quad (21)$$

这是发射天线系统的基本方程式。

但是，对接收天线系统，还必须把另外一个解(0)加于上述 n 个解(s)的和中去。解(0)表示在入射波的场中，天线系统在所有馈电点均为开路时的场。用 V_0 表示天线在馈电点处的开路电压。让我们取这样定义的 ($n+1$) 个解之和，其结果也应该是一个解。因而得到接收天线系统的通用方程式：

$$V_r = V_0 + \sum_{s=1}^n Z_{rs} I_s. \quad (22)$$

式中 Z_{rs} 为与式(20)中的相同的常数， Z_{rs} ($r = s = 1, 2 \dots n$) 叫做天线系统的自阻抗，而 Z_{rs} ($r \neq s$) 叫做互阻抗。

其次，我们来研究 Z_{rs} 和 Z_{sr} ($r \neq s$) 之间的关系。在前节所讲的互易定理方程式(16)中，设 \mathbf{E}_1 和 \mathbf{J}_{01} 为解(r)的值，而 \mathbf{E}_2 和 \mathbf{J}_{02} 为解(s)的值。那么， \mathbf{J}_{01} 只分布在 s 的馈电点上。因此，对无限区域的积分就简化为对这两部分的积分，并且只有分别对应于 V_{rs} 和 V_{sr} 的场 \mathbf{E}_1 和 \mathbf{E}_2 在式(16)的体积分中能起作用。现在，我们先假定馈电点有一定的大小，然后，再考虑馈电点的大小

无限缩小，但保持总电流不变的极限情况，那么方程式(16)中的体积分可计算如下：

$$\left. \begin{aligned} \int \mathbf{E}_1 \cdot \mathbf{J}_{02} dv &= -v_{rs} i_r, \\ \int \mathbf{E}_2 \cdot \mathbf{J}_{01} dv &= -v_{rs} i_r. \end{aligned} \right\} \quad (23)$$

将此方程式代入式(16)，得

$$v_{sr} i_s = v_{rs} i_r. \quad (24)$$

这样，由方程式(20)的定义，便得到：

$$Z_{sr} = Z_{rs}, \quad (s \neq r). \quad (25)$$

換句話說，互阻抗的對稱性已經被証實了。

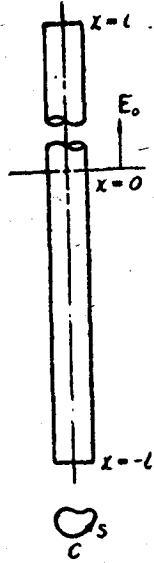
从上面的討論可見，天綫的輸入阻抗無論它是用在發射系統或是接收系統都是一樣的，因此它們與饋電點的電壓无关。這表明，一個具有 n 個饋電點的一般輻射系統相當於具有 n 個獨立的閉合回路的集總參數網絡。所以，一般網絡理論及其關係式可以直接在輻射系統中應用。例如，只要引入的或改變的是集總參數的電路元件，我們便可以把戴維寧定理擴展應用到輻射系統。

至此，所謂天綫系統的輻射阻抗已經由假定的天綫電流分佈用感應電勢的方法計算出來了，然而，天綫系統用於發射和接收時其電流分布並非永遠相同，所以，同一天綫系統用於發射和用於接收，其輻射阻抗的值是不同的^①。換句話說，只用一般感應電勢的方法不能單值地定義天綫系統的輻射阻抗。因此，必須注意，只有當如上所定義的 Z_{sr} 的值作為天綫系統的阻抗來處理時，有關網絡電特性的戴維寧定理及其他定理才能適用於輻射系統。

^① 金早已指出過同樣的事實。

第三章 線狀天線的分析

3.1 任意截面形状的柱形天线理論



实用的甚高頻 (V.H.F) 和超高頻 (U.H.F) 天線，常用非圓形截面的導體作為天線導體，但是關於這種型式天線的理論，特別是關於它的等效半徑的理論，似乎還沒有很大的發展。這裡我們將應用哈侖的理論來研究一個具有任意截面形状的柱形天線。

讓我們研究一個如圖 3.1 所示的天線，其中 x 為沿天線長度的座標， s 為沿截面周線 C 的座標。為了簡便起見，設所加電磁場 E_0 是沿 x 的方向極化的，且天線是由足夠細的理想導體所製成。如果將粗細對總長 $2l$ 的比數里的誤差略去，就可以不考慮終端面的效應；因而天線上的電流可以認為就是隨著場 E_0 沿柱面流動的電流 $K(x, s)$ 。於是得出流經 x 处截面的總電流 $I(x)$ 如下：

$$I(x) = \oint_C K(x, s) ds. \quad (1)$$

此時赫茲向量只有 x 分量。設 $\Phi(x, s)$ 為它在柱面上的值，則 $\Phi(x, s)$ 依下式決定於電流 $K(x, s)$ ：

$$\Phi(x, s) = \frac{1}{j 4 \pi \omega \epsilon} \int_{-l}^l dx_1 \oint_C K(x_1, s_1) \frac{e^{-jsk\varphi}}{r} ds_1. \quad (2)$$

式中

$$r = \sqrt{(x - x_1)^2 + d^2(s, s_1)}, \quad (8)$$

而 (s, s_1) 为闭合曲线 C 上 s 和 s_1 两点之间的距离。

此外，电磁场可由赫兹向量求得，而这些场在柱面的切线分量必须为零。用由式(2)所定义的函数 $\Phi(x, s)$ ，我们可以将这些边界条件表示为：

$$\frac{\partial^2 \Phi}{\partial x^2} + k^2 \Phi + E_0 = 0, \quad (4)$$

$$\frac{\partial^2 \Phi}{\partial x \partial s} = 0. \quad (5)$$

将式(4)和(5)分别对 s 及 x 微分得：

$$\frac{\partial^3 \Phi}{\partial x^2 \partial s} + k^2 \frac{\partial \Phi}{\partial s} + \frac{\partial E_0}{\partial s} = 0, \quad (6)$$

$$\frac{\partial^3 \Phi}{\partial x^2 \partial s} = 0. \quad (7)$$

如令 $\frac{\partial E_0}{\partial s} = 0$ ，则由此两方程式得出：

$$\frac{\partial \Phi}{\partial s} = 0. \quad (8)$$

这个方程式表示，在天线导体的截面周线上，赫兹向量的值为一常数。所以， Φ 一定只是 x 的函数而与 s 无关。由于这个理由，我们今后将用 $\Phi(x)$ 表示这个函数。

另外方程式(2)可以变化为：

$$j4\pi\omega\epsilon\Phi(x) = \int_{-l}^l \oint_C \frac{K(x, s_1)}{r} dx_1 ds_1 + \int_{-l}^l \oint_C \frac{K(x_1, s_1) e^{-jkr} - K(x, s_1)}{r} dx_1 ds_1. \quad (9)$$

当 $r = 0$ 时，上式中第二项内被积式的分子为零，而第一项内被

积式的分子则不为零，因此第二项积分的值可以认为是比其它各项都小的量。此外，第二项积分中的函数，能用 $|x - x_1|$ 来代替，这除了在 $x = x_1$ 附近以外是没有显著误差的。因此，当我们略去天线导体粗细对其长度比的数量级的误差后，第二项积分就容易近似地表示为

$$\oint_C \frac{K(x_1, s_1) e^{-js_1 r} - K(x, s_1)}{r} ds_1 \\ = \frac{I(x_1) e^{-js_1 |x-x_1|} - I(x)}{|x-x_1|}. \quad (10)$$

式中

$$I(x) = \oint K(x, s) ds. \quad (11)$$

另一方面，除在天线导体两端附近外， $\frac{1}{r}$ 的积分可由下式近似地表示：

$$\int_{-l}^l \frac{dx_1}{r} = \log(x_1 + \sqrt{x_1^2 + d^2}) \Big|_{0,0}^{l+x, l-x} \\ \simeq \log \frac{4(l^2 - x^2)}{d^2}, \\ = \log \frac{l^2 - x^2}{l^2} + 2 \log \frac{2l}{d}. \quad (12)$$

这里略去了 ρ/l 级的误差。近似式在靠近天线两端虽不能应用，但函数 $I(x) \log \{(l^2 - x^2)/l^2\}$ 和 $I(x)$ 在天线两端同时为零，因此式(9)右边的第一项在天线的任一点上可以近似地用下列的形式来表示，利用式(12)，得

$$\int_{-l}^l \oint_C \frac{K(x_1, s_1)}{r} dx_1 ds_1 \simeq I(x) \log \frac{l^2 - x^2}{l^2} \\ + 2 \oint_C K(x, s_1) \log \frac{2l}{d} ds_1. \quad (13)$$